

□□□□□□□□□□□□□□□□□□□□

□□□□□□□□□□□□□□□□**TSC**□

□□□□□□ □□□□□□□□□□□□

□□□□□□□□□□□□□□□□□□□□

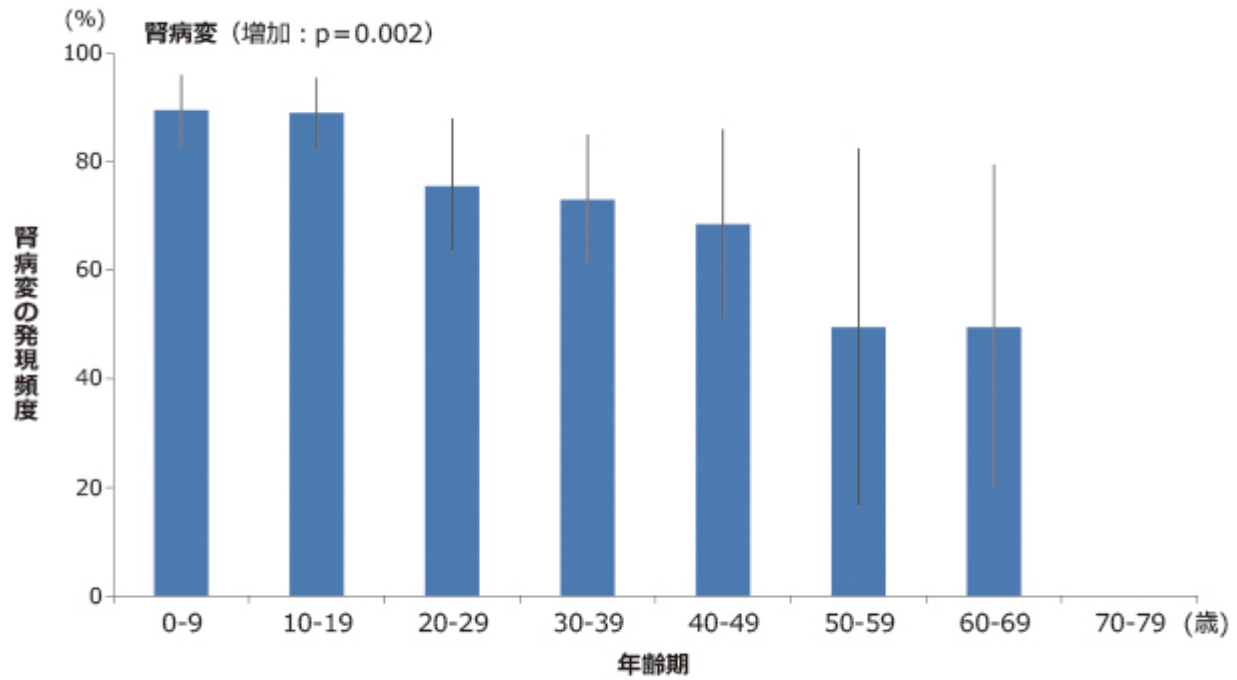
□□□□□□□□□□□□□□

AML

20~30 2~4% 20~50%¹⁾
2013 166 ²⁾ 1²⁾ 71
28 AML
2

Image

図1 年齢期別の腎病変の発現率

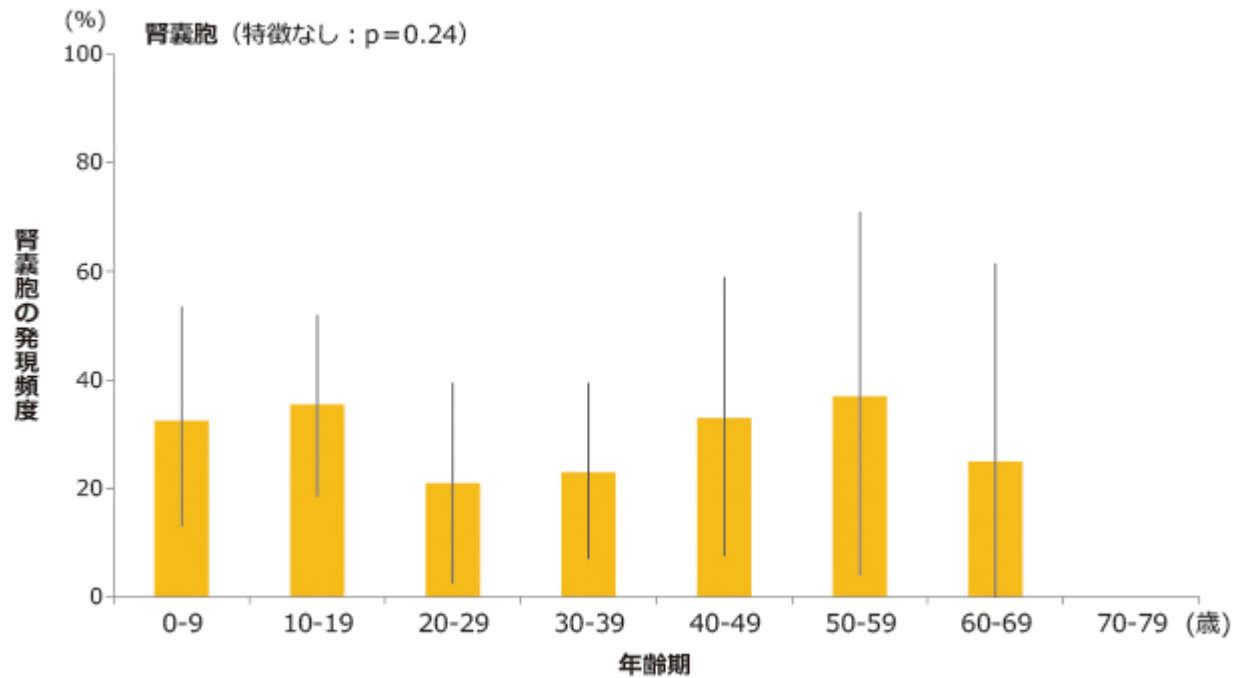


黒棒は信頼区間 (CI) を示す。
一般化ロジスティック回帰モデルによるWald χ^2 検定

Wataya-Kaneda M, et al. PLoS ONE 2013; 8: e63910

Image

図2 年齢期別の腎嚢胞の発現率



黒棒は信頼区間 (CI) を示す。
一般化ロジスティック回帰モデルによるWald χ^2 検定

Wataya-Kaneda M, et al. PLoS ONE 2013; 8: e63910

□□□□□□□□□□□□□□

AML
AML

renal cyst 3

1
1

Image

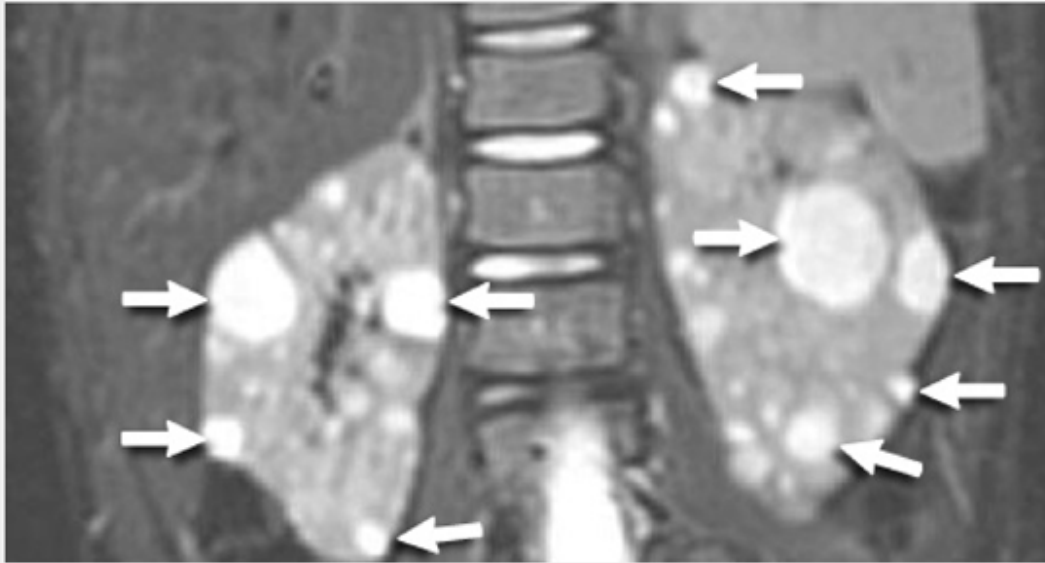
図 3



Reproduced, with permission, Umeoka S, et al. RadioGraphics 2008; 28: e32
ノバルティス ファーマ社内資料

Image

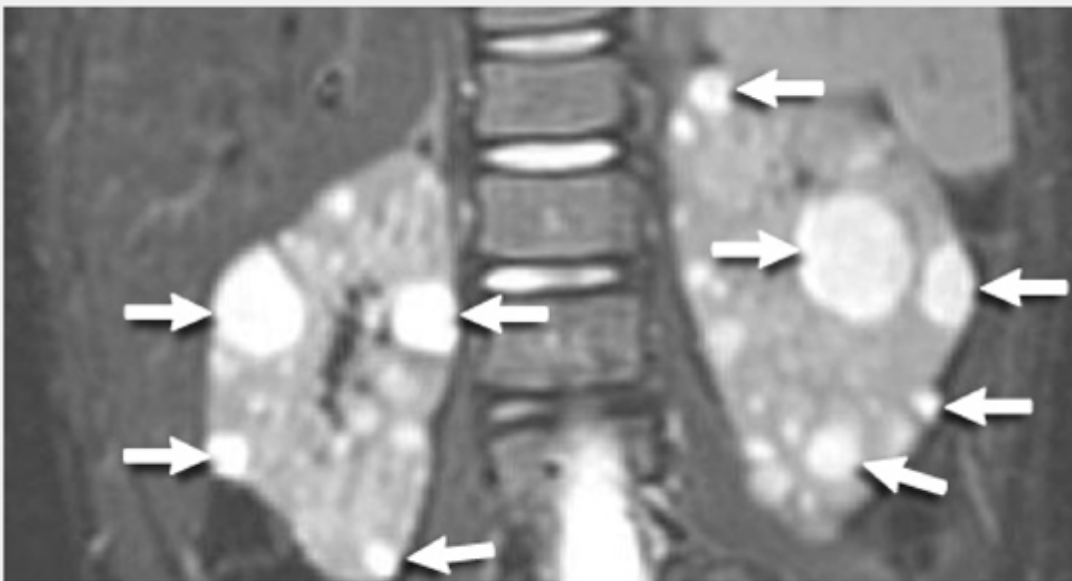
図 4



ノバルティス ファーマ社内資料

Image

図 4



ノバルティス ファーマ社内資料

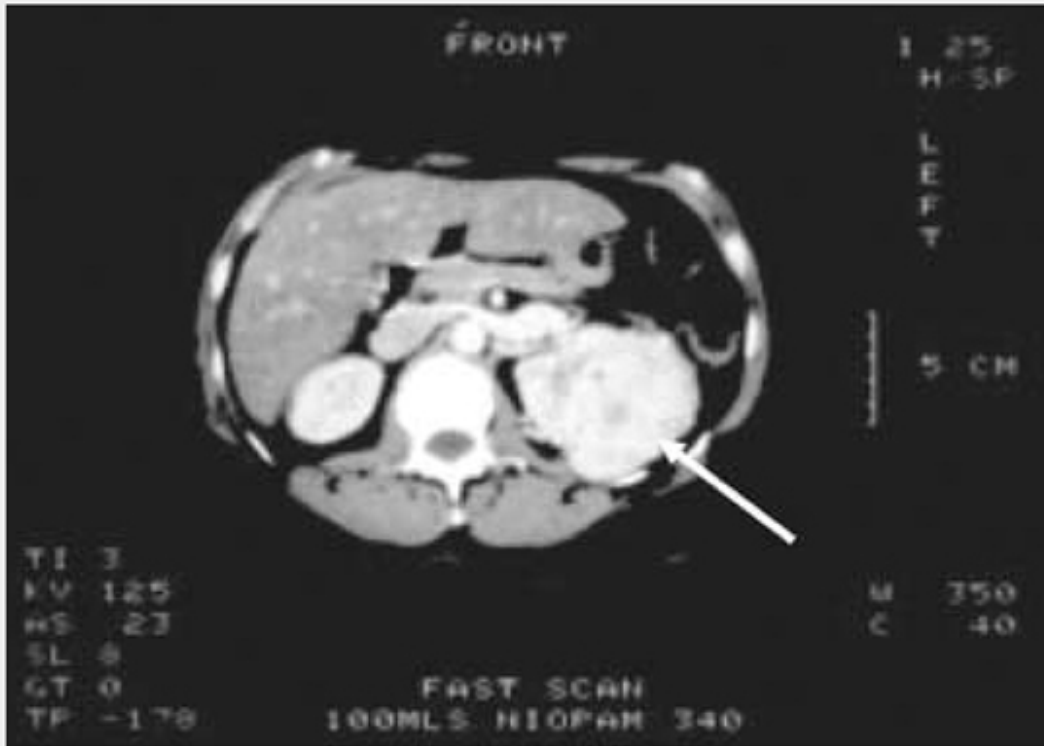
腎臓がん renal cell cancer: RCC 5

AML

2017⁸⁾

Image

図 5



Reprinted with permission from John Wiley and Sons.
ノバルティス ファーマ社内資料

Image

